

# ارزیابی مقاومت برشی و میزان خردشگی مخلوط ماسه‌ی کربناته و خرده‌لاستیک

مهمنسی عمان شرف، (پهار ۱۳۹۸) ۱۰-۱، شماره‌ی ۱، دوری ۲، ۵-۳، ص. ۹۴-۹۴، (ایدیا شفیع)

نادر شویعتداری (استاد)

حسن عشقی نژاد<sup>\*</sup> (کارشناس ارشد)

محسن نوروزی (دانشجوی دکتری)

دانشکده‌ی مهندسی عمران، دانشگاه علم و صنعت ایران

سواحل خلیج فارس در جنوب ایران از ماسه‌های کربناته پوشیده شده است. مهم‌ترین ویژگی رفتاری ماسه‌های کربناته، خردشگی ذرات آن تحت برش است که منجر به کاهش مقاومت برشی می‌شود و در رفتار تنش - کرنش خاک تأثیر می‌گذارد. از سوی دیگر، با توجه به حجم بالای حمل و نقل در مناطق مذکور، معضل انباشته شدن لاستیک‌های فرسوده و پیامدهای زیست محیطی آن، یکی از نگرانی‌های جدی است. استفاده از ضایعات لاستیکی مخلوط با خاک به عنوان مصالح پرکننده‌ی پشت دیوارهای حائل می‌تواند راهکاری مناسب برای کاهش معضلات زیست محیطی ناشی از انباشته شدن لاستیک‌های فرسوده باشد. در مطالعه‌ی حاضر، آزمایش‌های سه‌محوری تحریک‌یافته و زهکشی‌شده روی مخلوط ماسه‌ی کربناته و خرده‌لاستیک با ۱۰، ۱۵، ۲۰ و ۳۰ درصد حجمی کل مخلوط با تراکم‌های نسبی ۳۰ و ۶۰ درصد و در فشارهای همه‌جانبه‌ی ۱۰۰، ۳۵۰ و ۶۰۰ کیلوپاسکال انجام و مقاومت برشی و میزان خردشگی مخلوط ماسه‌ی کربناته و خرده‌لاستیک ارزیابی شده است.

وازگان کلیدی: خرده‌لاستیک، ماسه‌ی کربناته، مقاومت برشی، خردشگی، محیط‌زیست.

## ۱. مقدمه

خاک استفاده شد. در سال ۱۹۹۰، نیز در خاکریزی دیوار حائل دیگری در بربازیل از مخلوط ماسه و لاستیک فرسوده استفاده شده است.<sup>[۱]</sup> مطالعات صورت‌گرفته در حوزه‌ی تسلیح مصالح خاکی با استفاده از لاستیک‌های فرسوده نشان داد که ظرفیت بیرون‌کشیدگی لاستیک‌های فرسوده، ۱/۵ برابر مصالح متداول تسلیح خاک نظریه‌ی ثوبل هاست.<sup>[۲]</sup> استفاده از لاستیک‌های فرسوده در کاربردهای ژئوتکنیکی، مزایایی دارد که می‌توان به برخی از آن‌ها اشاره کرد: کاهش فشار جانبی وارد بر دیوارهای حائل،<sup>[۳]</sup> کاهش نشست خاکریزها،<sup>[۴]</sup> استفاده به عنوان مصالح فیلتر و زهکش،<sup>[۵]</sup> کاهش روان‌گرایی ماسه‌ها.<sup>[۶]</sup>

تاکنون می‌توانند با بعادی مختلف، مانند: پودر، تکه‌شده و یا کامل، به تنها، و یا مخلوط در خاک استفاده شوند. تراکم‌پذیری، وزن مخصوص پایین و دام بالا از ویژگی‌هایی هستند که لاستیک‌های فرسوده را به مصالحی جذاب برای استفاده در خاک تبدیل کرده‌اند. همچنین برخی پژوهشگران،<sup>[۷-۱۳]</sup> از لاستیک‌های فرسوده برای بهسازی خاک‌های نرم در راهسازی استفاده کرده‌اند. برخی دیگر نیز از مخلوط‌های مذکور به عنوان مصالح سبک در خاکریزی پشت دیوارهای حائل استفاده کرده‌اند.<sup>[۱۴]</sup>

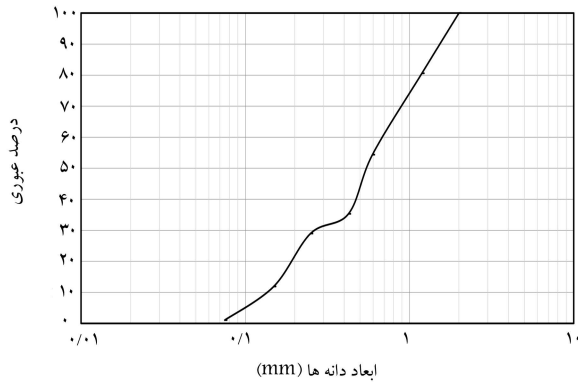
با وجود مطالعات فراوان صورت‌گرفته روی مقاومت برشی مخلوط ماسه و لاستیک فرسوده، در گزارش‌ها دوگانگی مشاهده می‌شود و بسته به اندازه‌ی ذرات

با افزایش تعداد وسایط نقلیه، بر میزان لاستیک‌های فرسوده‌ی انباشته شده افزوده می‌شود. امروزه، انباشته شدن لاستیک‌های فرسوده با توجه به طول عمر بالا به یکی از نگرانی‌های زیست محیطی جدی تبدیل شده است. در حال حاضر در اتحادیه‌ی اروپا، ژاپن و ایالات متحده که از پیشگامان استفاده مجدد از ضایعات لاستیکی هستند، بین ۸۰ تا ۹۵ درصد از لاستیک‌های فرسوده، استفاده مجدد می‌شود.<sup>[۱]</sup> در ایران، فقط بخش اندکی از لاستیک‌های فرسوده بازیافت می‌شوند و بخش اعظم آن‌ها در طیعت رها و یا در خوشبینانه ترین حالت در مراکز دفن بهداشتی انباشته می‌شوند. تجمع تایرهای فرسوده در مراکز دفن، می‌تواند سبب قوع آتش‌سوزی، رشد جانوران موذی، شیوع بیماری‌ها، و مشکلات زیست محیطی بسیاری شود. از سوی دیگر، پرشدن فضای مراکز دفن نیز یکی از مواردی است که مهندسان را به سمت استفاده از مصالح ذکر شده در مقاصد مهندسی سوق می‌دهد. ایده‌ی تسلیح خاک در سال ۱۹۶۹ معرفی شد،<sup>[۲]</sup> و نشان داده شد که استفاده از المان تسلیح، مقاومت برخی خاک را افزایش می‌دهد. در فرانسه در سال ۱۹۸۴، برای اولین بار در خاکریزی یک دیوار حائل به ارتفاع ۵ متر و طول ۱۰ متر از لاستیک به عنوان المان تسلیح

\* نویسنده مستول

تاریخ: دریافت ۲۶ اکتبر ۱۳۹۵، اصلاحیه ۲۴، ۹/۱۳۹۵. پذیرش ۱۱ اکتبر ۱۳۹۵.

DOI:10.24200/J30.2018.1565.1872



شکل ۱. منحنی دانه‌بندی ماسه.

جدول ۱. مشخصات فیزیکی ماسه‌ی کربناته‌ی قشم.

| مقدار | پارامتر                 |
|-------|-------------------------|
| ۰,۱۳  | $D_{10}$ (mm)           |
| ۰,۲۷  | $D_{20}$ (mm)           |
| ۰,۵۴  | $D_{50}$ (mm)           |
| ۰,۶۸  | $D_{60}$ (mm)           |
| ۵,۲۳  | ضریب یکنواختی ( $C_U$ ) |
| ۰,۸۲  | ضریب انحصار ( $C_C$ )   |

در جدول ۱ نشان داده شده است. با توجه به ویژگی‌های ذکر شده در جدول، خاک مصرفی از نوع ماسه‌ی بد دانه‌بندی شده است.

چگالی ویژه‌ی ماسه ۲,۶۶ (ASTM D۸۵۴) و مقدار بیشینه و کمینه‌ی وزن مخصوص ( $\gamma_d \text{ min}$ ) و ( $\gamma_d \text{ max}$ ) ماسه‌ی کربناته‌ی قشم به ترتیب ۱۵,۹۸ و ۱۳,۲۴ کیلونیون پر متراکم است (ASTM D۴۲۵۳) و (ASTM D۴۲۵۴). نسبت منافذ بیشینه ( $e_{\text{max}}$ ) ۰,۹۷ و نسبت منافذ کمینه ( $e_{\text{min}}$ ) ۰,۶۳ است.

## ۲. خرده‌لاستیک

همان‌طور که در بخش مقدمه ذکر شد، افزودن لاستیک‌های ضایعاتی با ابعاد بزرگ تر معمولاً موجب افزایش مقاومت ماسه‌ی سیلیکاته می‌شود و انتخاب ضایعات لاستیکی با ابعاد کوچک، تأثیری در افزایش مقاومت ندارد. همچنین با توجه به استانداردهای موجود، اندازه‌ی نمونه‌ای باید دست کم ۶ برابر قطر ذرات موردن آزمایش باشد، تا اثر اندازه‌ی ذرات در نتیجه‌ی آزمایش تأثیر نداشته باشد و موجب خطا نشود. با توجه به اینکه قطر نمونه‌ی دستگاه آزمایش سه‌محوری در مطالعه‌ی حاضر ۷۰ میلی‌متر است، سعی شده است که بزرگ‌ترین اندازه‌ی ممکن برای ضایعات لاستیک انتخاب شود، که برابر ۱۰ میلی‌متر است. با توجه به نتایج ارائه شده توسط گاتاند، جهت قرار گرفتن تراشه‌های لاستیک در مقاومت برشی تأثیرگذار است (در صورتی که نسبت ابعادی بیش از ۱ باشد). لاستیک فرسوده‌ی استفاده شده در مطالعه‌ی حاضر پس از بیرون کشیدن سیم‌ها به صورت قطعات مکعبی با ابعاد  $10 \times 10 \times 8$  میلی‌متر خرد شده است (شکل ۲). عمل انتخاب خرده‌لاستیک با ابعاد  $10 \times 10 \times 1$ ، از بین بردن تأثیر جهتگیری قرار گرفتن خرده‌های لاستیک در سطح برش، در مقاومت برشی مخلوط است. مقدار چگالی ویژه‌ی خرده‌لاستیک استفاده شده در آزمایش که برای ۱ بوده است، که در محدوده‌ی بین ۱,۰۲ تا ۱,۳۰ گزارش شده توسط سایر پژوهشگران قرار دارد.<sup>[۳۸, ۱۷, ۷]</sup>

ماسه و لاستیک فرسوده، افزایش پاکاهاش مقاومت برشی گزارش شده است. در تمامی پژوهش‌هایی که افزودن لاستیک‌های فرسوده (خرده‌لاستیک یا تکه‌های لاستیک) تا درصد معینی سبب افزایش مقاومت برشی شده است، از تکه‌های لاستیک با بعد بیش از ۱ سانتی‌متر استفاده شده است.<sup>[۲۲-۲۷]</sup> همچنین در مطالعاتی که پژوهشگران با افزودن خرده‌لاستیک، کاهش مقاومت برشی را گزارش کردند، ابعاد لاستیک‌های ضایعاتی کمتر از ۵ میلی‌متر بوده است.<sup>[۱۶-۲۲]</sup> مطالعات نشان می‌دهد که مدلول برشی مخلوط‌های خاک و لاستیک اندک است و نسبت میرای بالایی دارد.<sup>[۱۹-۲۷]</sup> با افزودن تکه‌های لاستیک به خاک، شکل پذیری مخلوط به میزان قابل توجهی افزایش می‌یابد.<sup>[۱۶-۲۴, ۱۸, ۷]</sup> خاک‌های کربناته عموماً در مناطق گرم حاره‌بی و استوایی و نیز در مناطق دارای ذخایر نفت و گاز از جمله سواحل کشور استرالیا، هند، و نیز سواحل خلیج فارس یافت می‌شوند.<sup>[۱۰]</sup> این خاک‌ها به صورت معمول به دو شکل سیمانه و غیرسیمانه با چگالی کاملاً متفاوت در طبیعت یافت می‌شوند. مهم‌ترین ویژگی خاک‌های مذکور، خردشده‌ی دانه‌های آن‌ها در برابر بارهای معمول است. در اثر بارگذاری و خردشده‌ی دانه‌ها، خاک دچار تغییر حجم می‌شود و مشکلات جدی بروز می‌کند. در حین ساخت و ساز روی خاک‌های ذکر شده، علاوه بر خردشده‌ی شدید، مشکلات سازه‌ی بسیاری ناشی از مقاومت کم شمع‌ها، ظرفیت باربری پایین گزارش شده است.<sup>[۲۲, ۳۱]</sup> برخی پژوهشگران نیز با تعریف خردشده‌ی به صورت تابعی از نسبت تنش مؤثر، بیان کردند که خردشده‌ی برشی بسیار بیشتر از خردشده‌ی پس از تحکیم نمونه است.<sup>[۲۳]</sup> ماسه‌های کربناته به دلیل نرم و شکننده‌بودن دانه‌هایشان در حین برش دچار شکستگی می‌شوند. شکستن دانه‌ها در حین برش موجب کاهش حجم نمونه و بغرنج شدن مفهوم حالت بحرانی می‌شود. در حالت بحرانی ماسه به یک حالت پایدار خواهد رسید، به گونه‌ی که تنش‌های تماсی بین دانه‌ها برای شکستگی بیشتر دانه‌ها کافی نخواهد بود.<sup>[۲۴]</sup>

در آزمایش سه‌محوری، حالت بحرانی در واقع تعادل بین کاهش حجم ناشی از خردشده‌ی و اتساع ناشی از آرایش مجدد دانه‌هاست.<sup>[۲۵]</sup> با افزایش تنش همه جانبه، خردشده‌ی خاک رخ می‌دهد و از شدت رفتار اتساعی خاک کاسته می‌شود.<sup>[۲۶]</sup> با توجه به اینکه خاک‌های ذکر شده هم از نظر منشأ و هم از نظر رفتار مهندسی نسبت به خاک‌های متدالو و معمول سیلیکاته متفاوت هستند،<sup>[۲۷]</sup> لذا شناسایی دقیق و بررسی چگونگی رفتار آن‌ها در اثر افزودن خرده‌لاستیک ضرورت دارد.

لامسیت و بزرگی مناطق جنوبی ایران در حوزه‌ی ترازیت کالا و به تبع آن تولید بیشتر لاستیک‌های فرسوده از یک سو و مشکلات دفن ضایعات مورداشاره‌ی با ارزش از نظر زیست محیطی و اقتصادی از سوی دیگر، اهمیت شناخت دقیق رفتار مخلوط ماسه‌ی کربناته و لاستیک را دو چندان می‌کند. در مطالعه‌ی حاضر، با استفاده از آزمایش‌های سه‌محوری تحریک یافته و زهکشی شده، تأثیر افزودن خرده‌لاستیک های ضایعاتی در مقاومت برشی ماسه‌های کربناته در اثر افزودن خرده‌لاستیک ارزیابی شده است. رفتار خردشده‌ی ماسه‌ی کربناته در اثر افزودن خرده‌لاستیک ارزیابی شده.

## ۲. مصالح مصرفی

### ۱.۲ ماسه

ماسه‌ی مصرفی در مطالعه‌ی حاضر، ماسه‌ی کربناته‌ی جزیره‌ی قسم با درصد کربنات کلسیم ۵۳/۸٪ است که از منطقه‌ی درگاهان در شمال جزیره‌ی قسم تهیه شده است. منحنی دانه‌بندی در شکل ۱ و مشخصات فیزیکی ماسه‌ی مورد آزمایش

## جدول ۲. وزن مخصوص مخلوط‌های ماسه و لاستیک.

| $\gamma_{Dr=60\%}(\frac{KN}{m^3})$ | $\gamma_{Dr=30\%}(\frac{KN}{m^3})$ | $\gamma_{d \max}(\frac{KN}{m^3})$ | $\gamma_{d \min}(\frac{KN}{m^3})$ | نمونه      |
|------------------------------------|------------------------------------|-----------------------------------|-----------------------------------|------------|
| ۱۴,۸۰                              | ۱۴,۰۰                              | ۱۵,۹۷                             | ۱۲,۲۳                             | ماسه خالص  |
| ۱۴,۱۰                              | ۱۳,۳۰                              | ۱۵,۲۹                             | ۱۲,۵۴                             | % ۱۰ مخلوط |
| ۱۳,۷۰                              | ۱۲,۹۰                              | ۱۴,۹۰                             | ۱۲,۱۵                             | % ۱۵ مخلوط |
| ۱۳,۴۰                              | ۱۲,۶۰                              | ۱۴,۶۰                             | ۱۱,۸۶                             | % ۲۰ مخلوط |
| ۱۲,۶۰                              | ۱۱,۹۰                              | ۱۳,۷۲                             | ۱۱,۲۷                             | % ۳۰ مخلوط |

جدول ۳. وزن ماسه و خردل استیک موردنیاز برای ساخت نمونه.

| تراکم (%) | درصد حجمی لاستیک |                      |                |                    |
|-----------|------------------|----------------------|----------------|--------------------|
|           | وزن ماسه (گرم)   | وزن خردل استیک (گرم) | وزن ماسه (گرم) | وزن خردل استیک (%) |
| ۰         | ۷۶۸              | ۰                    | ۷۲۶            | ۰                  |
| ۲۹        | ۷۰۱              | ۲۷                   | ۶۶۱            | ۱۰                 |
| ۴۲        | ۶۶۷              | ۳۹                   | ۶۲۸            | ۱۵                 |
| ۵۳        | ۶۳۸              | ۵۰                   | ۶۰۰            | ۲۰                 |
| ۷۲        | ۵۷۵              | ۶۸                   | ۵۴۲            | ۳۰                 |

که در آن:  $D_r$  تراکم نسبی نمونه،  $\gamma_d$  وزن مخصوص مخلوط،  $\gamma_{d \min}$  وزن مخصوص مخلوط در سیستم حالت،  $\gamma_{d \max}$  وزن مخصوص مخلوط در متراکم ترین حالت،  $\gamma_m$  وزن مخصوص ماتریس، هستند.

پس از محاسبه  $\gamma_{Dr} = \gamma_m / \gamma_d = 30\%$  که مقادیر آن در جدول ۲ نمایش داده شده است، با استفاده از روابط ۲ و ۳، وزن خردل استیک و ماسه برای هر کدام از نمونه‌ها بدست آمده است. در جدول ۳، مقادیر ماسه و خردل استیک برای ساخت هر نمونه به تفکیک ذکر شده است.

$$\gamma_m = \frac{w_s}{v_m - v_t \left( \frac{G_t}{G_s} \right)} \quad (2)$$

$$w_t = \left( R \frac{G_t}{G_s} \right) w_s \quad (3)$$

که در آن‌ها:  $w_s$  وزن خاک خشک،  $V_m$  حجم قالب،  $V_t$  حجم خردل استیک،  $G_t$  چگالی ویژه خردل استیک و ماسه،  $R$  درصد حجمی لاستیک در مخلوط،  $G_s$  و هستند.

در مطالعه‌ی حاضر، نمونه‌ها براساس روش بارش خشک ارائه شده در برخی مطالعات، [۳۰-۳۴] انجام شده‌اند. چون اندازه‌ی لاستیک‌ها بزرگ بود، به جای استفاده از قیف با قطر دهانه‌ی ۱۳ میلی‌متر، از یک قاشق برای ریختن خاک درون قالب استفاده شده است. [۴۱] قطر و ارتفاع قالب سه محوری به ترتیب ۷۰ و ۱۴۰ میلی‌متر است. برای دست یافتن به شرایط اشیاع کامل، ابتدا گازکردن دی‌اکسید با فشار معین و سپس آب هواگیری شده از نمونه عبور داده می‌شوند. در انتها، پس فشاری معادل ۲۰۰ کیلوپاسکال به نمونه اعمال می‌شود و پارامتر نشان آب منفذی اسکمپتون (B-Value) کنترل می‌شود که مقدار آن دست‌کم برابر  $95^\circ$  در نظر گرفته می‌شود. [۴۲]

پارامتر  $B$  به صورت رابطه‌ی ۴ تعریف می‌شود:

$$B = \frac{\Delta U}{\Delta \sigma} \quad (4)$$

که در آن  $\Delta U$  تغییرات فشار آب حفره‌یی و  $\Delta \sigma$  تغییرات فشار مؤثر جانی است. کلیه‌ی آزمایش‌ها با نرخ کرنش  $5^\circ$  میلی‌متر بر دقیقه و به صورت کرنش کنترل انجام



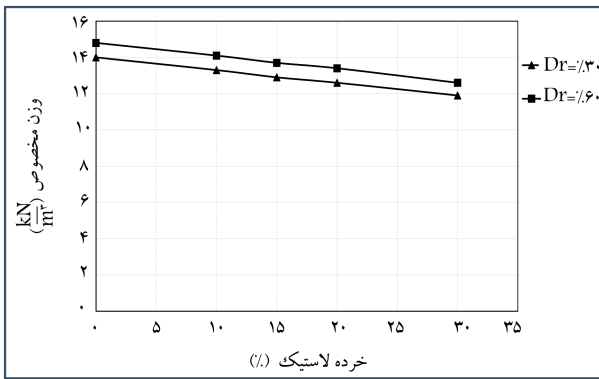
شکل ۲. خردل استیک استفاده شده در آزمایش‌ها.

## ۳. آماده‌سازی نمونه‌ها و برنامه‌ی آزمایش

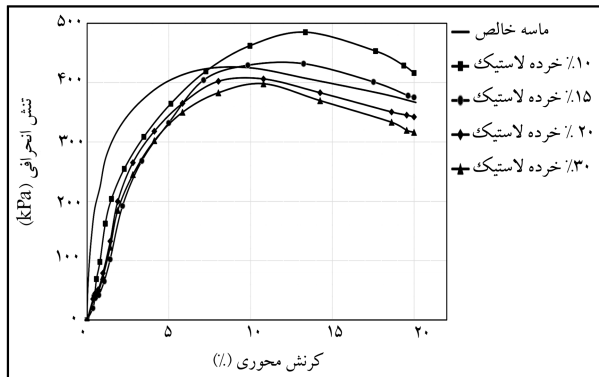
برنامه‌ی آزمایش شامل آزمایش سه محوری تحریک یافته‌ی رهکشی شده (CD) براساس استاندارد ASTM D ۲۱۸۱-۱۱ با فشار همه‌جانبه مؤثر ۱۰۰ و ۳۵۰ و ۶۰۰ کیلوپاسکال است. درصد‌های حجمی خردل استیک استفاده شده در خاک ۰، ۱۵، ۲۰، ۳۰ و ۴۰ بوده است که در ۳ مرحله درون قالب ریخته و نمونه‌هایی با تراکم نسبی ۳۰ و ۶۰ درصد آزمایش شدند.

به منظور ساخت نمونه‌هایی با تراکم نسبی ۳۰ و ۶۰ درصد لازم است ابتدا وزن مخصوص کمینه و بیشینه‌ی مخلوط‌های مختلف ماسه و لاستیک با استفاده از استانداردهای ASTM D ۴۲۵۳ و ASTM D ۴۲۵۴ تعیین شود. سپس با استفاده از رابطه‌ی ۱، مقدار وزن مخصوص مخلوط برای درجه‌ی تراکم نسبی ۳۰ و ۶۰ درصد بدست آمده است. مقادیر محاسبه شده در جدول ۲ نشان داده شده است.

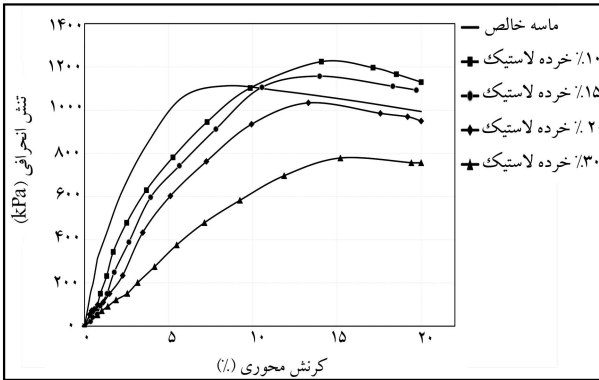
$$D_r = \left( \frac{\gamma_d - \gamma_{d \min}}{\gamma_{d \max} - \gamma_{d \min}} \right) \left( \frac{\gamma_{d \max}}{\gamma_d} \right) \quad (1)$$



شکل ۴. تغییرات وزن مخصوص با افزایش درصد لاستیک.



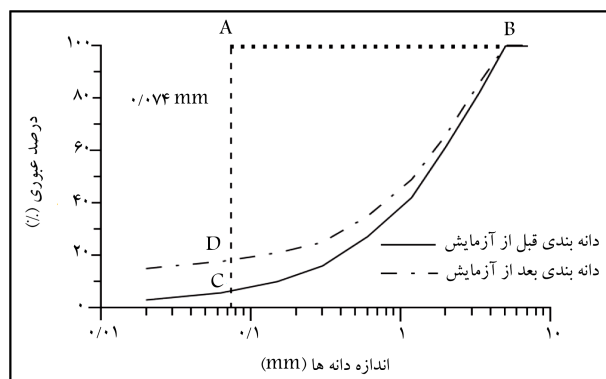
شکل ۵. نمودار تنش انحرافی - کرنش محوری، تراکم نسبی ۳۰٪ و فشار همه جانبه ۱۰۰ کیلوپاسکال.



شکل ۶. نمودار تنش انحرافی - کرنش محوری، تراکم نسبی ۳۰٪ و فشار همه جانبه ۳۵۰ کیلوپاسکال.

#### ۲.۴. اثر خردل استیک در مقاومت برشی

به منظور بررسی مقاومت برشی، نمودارهای مقاومت برشی مخلوط ماسه کربناته و خردل استیک در دو تراکم نسبی ۳۰٪ و ۶۰٪ و فشارهای همه جانبه ۱۰۰، ۱۵۰، ۲۵۰ و ۶۰۰ کیلوپاسکال رسم شدند. همان‌طور که از نتایج مشاهده می‌شود، در نمونه‌های سیست (۳۰٪)،  $D_r = 10\%$ ، با افزودن ۱۰٪ خردل استیک، مقاومت برشی مخلوط نسبت به ماسه خالص افزایش یافته است (شکل‌های ۵ الی ۷ برای فشار همه جانبه‌ی ۱۰۰، ۱۵۰ و ۳۵۰ کیلوپاسکال). در نمونه‌های نیمه‌متراکم ( $D_r = 60\%$ )، مقاومت برشی مخلوط در تنش همه جانبه‌ی ۱۰۰ کیلوپاسکال نسبت به ماسه خالص در همان تراکم نسبی کمی افزایش (شکل ۸) و در تنش همه جانبه‌ی ۳۵۰



شکل ۳. روش هاردین برای محاسبه خردشگی.

می‌گیرد. آزمایش‌های مذکور با استفاده از دستگاه آزمایش سه محوری ELE ساخت کشور انگلستان در مرکز تحقیقات ژوتکنیک دانشگاه علم و صنعت ایران انجام شده است.

در مطالعه‌ی حاضر، تعداد ۳۰ آزمایش سه محوری تحریک پافته و زهکشی شده روی ماسه کربناته جزیره‌ی قشم و مخلوط ماسه و لاستیک با ۵، ۱۰، ۱۵، ۲۰، ۳۰ درصد حجمی کل مخلوط در دو تراکم نسبی ۳۰ و ۶۰ درصد، در فشارهای همه جانبه‌ی ۱۰۰، ۱۵۰ و ۶۰۰ کیلوپاسکال انجام شدند. همچنین به منظور بررسی پارامتر خردشگی، تمامی نمونه‌ها پس از پایان آزمایش، مجدداً دانه‌بندی شدند و با استفاده از روش هاردین، ضریب خردشگی محاسبه شد. هاردین برای تعیین مقدار خردشگی ذرات از تغییرات کل منحنی دانه‌بندی استفاده کرده است (شکل ۳). براساس روش مذکور، خردشگی ذرات زمانی به انتهای پایدار دانست که همه‌ی ذرات کوچک‌تر از الک نمره ۲۰۰ رد شوند. خردشگی خاک به صورت نسبت تغییرات منحنی دانه‌بندی قبل و بعد از آزمایش به کل تغییر ممکن محاسبه می‌شود (رابطه‌ی ۵).

$$B_r = \frac{B_t}{B_p}$$

symbol Area<sub>BCDB</sub> B<sub>t</sub> =

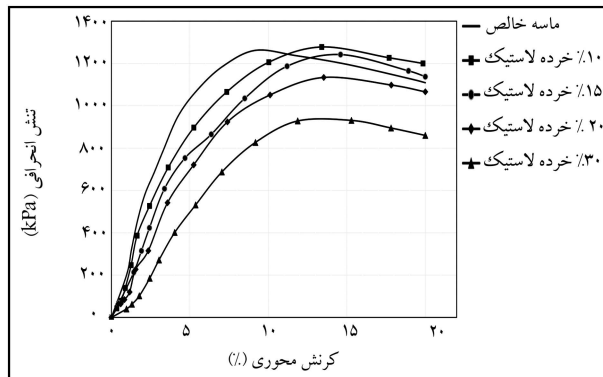
$$B_p = \text{Area}_{ABCD A}$$

که در آن  $B_r$ ، ضریب خردشگی است.

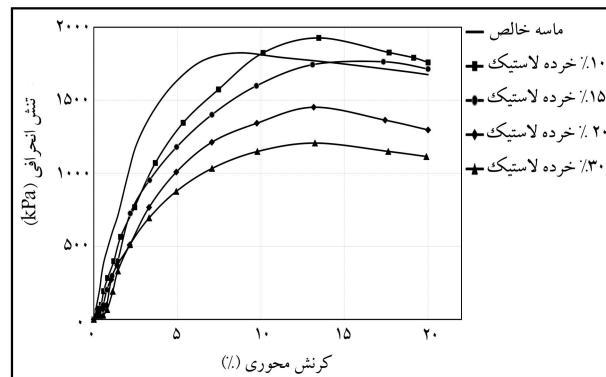
#### ۴. نتایج آزمایش‌ها

##### ۴.۱. تغییرات وزن مخصوص

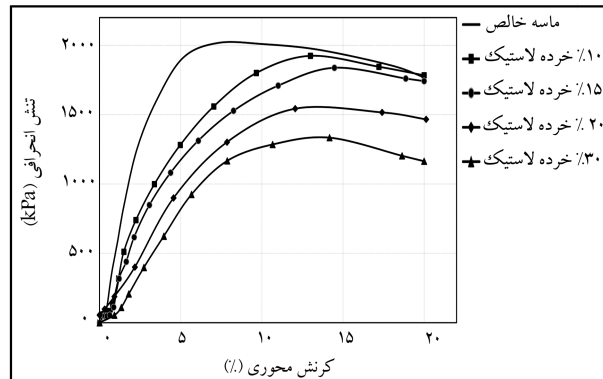
با توجه به کمربودن وزن مخصوص لاستیک نسبت به ماسه کربناته، افزودن خردل استیک به ماسه سبب کاهش وزن مخصوص مخلوط با شب تقریباً ثابتی می‌شود که بیانگر اثر سبک‌سازی افزودن لاستیک به خاک است. در واقع با افزودن ۳۰٪ خردل استیک به ماسه کربناته، وزن مخصوص نمونه‌های با تراکم ۱۴/۹ و نمونه‌های با تراکم ۱۱/۹٪ و نمونه‌های با تراکم ۱۲/۶٪ از ۱۴/۸ به ۱۲/۶ کاهش می‌یابد (۱۵٪ کاهش وزن مخصوص مخلوط نسبت به ماسه خالص). این موضوع در شکل ۴ مشاهده می‌شود.



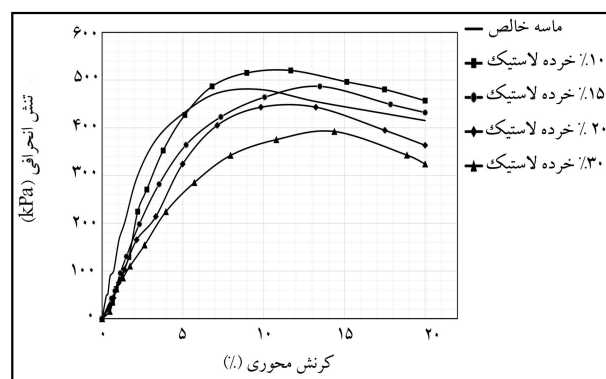
شکل ۹. نمودار تنش انحرافی - کرنش محوری، تراکم نسبی ۶۰٪ و فشار همه‌جانبه‌ی ۳۵۰ کیلوپاسکال.



شکل ۷. نمودار تنش انحرافی - کرنش محوری، تراکم نسبی ۳۰٪ و فشار همه‌جانبه‌ی ۶۰۰ کیلوپاسکال.



شکل ۱۰. نمودار تنش انحرافی - کرنش محوری، تراکم نسبی ۶۰٪ و فشار همه‌جانبه‌ی ۶۰۰ کیلوپاسکال.



شکل ۸. نمودار تنش انحرافی - کرنش محوری، تراکم نسبی ۶۰٪ و فشار همه‌جانبه‌ی ۱۰۰ کیلوپاسکال.

با توجه به اینکه خردلاستیک در کشش عمل می‌کند، تغییر حجم بیشتر سبب می‌شود که کرنش کششی بیشتری در لاستیک مشاهده شود. به همین دلیل افزایش مقاومت برشی در تنش همه‌جانبه‌ی پایین، محسوس شرط است. این موضوع با نتایج برخی مطالعات،<sup>[۱۸] [۲۲]</sup> هم خوانی دارد.

۲. با توجه به خواص ماسه‌ی کربناته، باید اثر هم‌زمان خردشکی و افزایش مقاومت ناشی از افزودن لاستیک را مدنظر قرار داد (مباحثت مربوط به خردشکی در بخش ۵.۴ توضیح داده شده است). با افزایش تنش همه‌جانبه، خردشکی ماسه‌ی کربناته افزایش می‌باید. وقوع خردشکی متناظر با کاهش زاویه اصطکاک داخلی خاک است. از طرفی میزان ۱۰٪ لاستیک به عنوان مقدار بهینه‌ی افزایش مقاومت مخلوط در نظر گرفته شد. یعنی از طرفی قفل و بست بین دانه‌ها موجب افزایش زاویه اصطکاک داخلی و از سوی دیگر وقوع خردشکی موجب کاهش زاویه اصطکاک داخلی می‌شود.

کاهش مقاومت برشی مخلوط ۱۰٪ درصد حجمی با تراکم نسبی ۶۰٪ در تنش همه‌جانبه‌ی ۶۰٪ را می‌توان به صورت برآیند این موارد تفسیر کرد:

- با افزودن ۱۰ تا ۱۵ درصد حجمی کل نمونه‌ی لاستیک به خاک، تکه‌های لاستیک در سطح برش، ذرات ماسه را احاطه و حفظه‌های موجود را بر می‌کنند و موجب افزایش مقاومت برشی مخلوط می‌شوند.
- تنش محصورکننده‌ی ۶۰۰ کیلوپاسکال به ذرات تیزگوشه‌ی ماسه‌های کربناته، فشار بیشتری وارد می‌کند و سبب خردشدن ذرات کربناته می‌شود، که این خردشکی سبب کاهش مقدار زاویه اصطکاک می‌شود.

کیلوپاسکال، مقدار افزایش مقاومت کاهش یافته است، اما همچنان مقاومت برشی مخلوط، ۱۰٪ بیش از ماسه‌ی خالص بوده است (شکل ۹). در تنش همه‌جانبه‌ی ۶۰۰ کیلوپاسکال، ماسه‌ی خالص بیشترین مقاومت برشی را داشته و افزودن خردلهای لاستیک، سبب کاهش مقاومت برشی شده است.

با افزایش بیش از ۱۰٪ خردلاستیک در مخلوط، مقاومت برشی مخلوط کاهش می‌یابد. در واقع در مخلوط ۱۰٪ حجمی خردلاستیک و ماسه‌ی کربناته با تراکم نسبی ۳۰٪، در فشار همه‌جانبه‌ی ۱۰۰ کیلوپاسکال به میزان ۱۴٪ افزایش مقاومت مشاهده می‌شود. در حالی که در فشارهای همه‌جانبه‌ی ۳۵۰ و ۶۰۰ کیلوپاسکال، میزان افزایش مقاومت به ترتیب ۱۰٪ و ۵٪ بوده است (شکل‌های ۵ الی ۷). در تراکم نسبی ۶۰٪، مقاومت برشی مخلوط ۱۰٪ حجمی نسبت به ماسه‌ی خالص، در تنش همه‌جانبه‌ی ۱۰۰ کیلوپاسکال، ۸٪ افزایش پیدا کرده است. در تنش همه‌جانبه‌ی ۳۵۰ کیلوپاسکال فقط ۱۵٪ افزایش مشاهده می‌شود و در تنش همه‌جانبه‌ی ۶۰۰ کیلوپاسکال، نه فقط افزایش مقاومتی مشاهده نمی‌شود، بلکه ۵٪ کاهش مقاومت مشاهده می‌شود. هر چه تنش‌های همه‌جانبه افزایش می‌یابد و نیز نمونه‌متراکم‌تر می‌شود، نقش خردلاستیک در افزایش مقاومت برشی مخلوط کم رنگ‌تر می‌شود. در مطالعه‌ی حاضر، بهینه‌ترین مقدار افزودن خردلاستیک به ماسه، ۱۰٪ حجمی است (شکل‌های ۸ الی ۱۰).

در بررسی نمودارهای اخیر، اثر هم‌زمان چندین عامل در افزایش یا کاهش مقاومت برشی دخیل است، که در اینجا به آن پرداخته شده است:

۱. تنش‌های محصورکننده‌ی پایین، اجازه‌ی تغییر حجم بیشتری به نمونه می‌دهند و

کمتر از ۳۵۰ کیلوپاسکال محاسبه و پس از آن پوش گسیختگی غیرخطی شده است.

برای ذرات در مخلوط ماسه و لاستیک، ۳ نوع تماس بین ذرات تشکیل دهنده را می‌توان متصور شد: ۱. تماس ماسه با ماسه، ۲. تماس ماسه با لاستیک و ۳. تماس لاستیک با لاستیک. در حالت ماسه‌ی خالص، تمامی تماس‌های بین ذرات از نوع اول است و با توجه به تیزگوشه بودن برخی از ذرات ماسه‌ی کربناته، قفل و بست بین ذرات و همچنین زاویه‌ی اصطکاک داخلی بیشتر بوده است. با افزایش میزان لاستیک در مخلوط، تماس بین ذرات از نوع لاستیک با لاستیک و نیز لاستیک با لاستیک در مخلوط، تماس بین اصطکاک داخلی افزایش می‌باشد و با توجه به کمتر بودن اصطکاک بین تماس‌های ذکر شده از خاک افزایش می‌باشد و با توجه به کمتر بودن اصطکاک بین ذرات ماسه با ماسه کربناته بیشتر است.

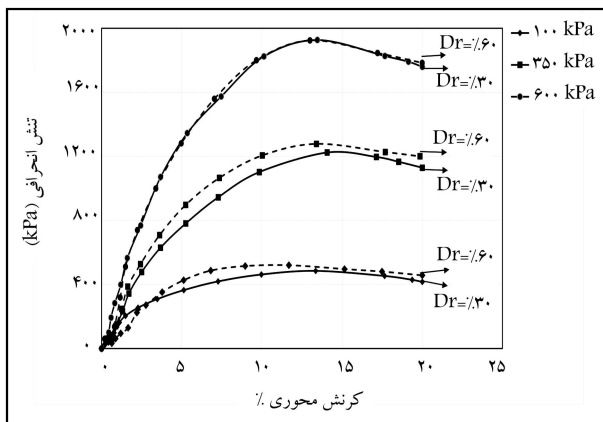
#### ۴.۴. اثر تراکم و تمش همه‌جانبه

به منظور بررسی تأثیر تراکم نسبی نمونه‌ها و همچنین تمش همه‌جانبه‌ی اعمال شده بر نمونه‌ها، نمودارهای تمش-کرنش در دو تراکم ۳۰٪ و ۶۰٪ و در ۳ تمش همه‌جانبه‌ی ۱۰٪، ۳۵٪ و ۶۰٪ کیلوپاسکال برای درصدهای لاستیک ۰٪ تا ۳۰٪ رسم شد که برای نمونه به ذکر یک مورد آن اکتفا شده است (شکل ۱۱).

با بررسی نمودار مذکور مشاهده می‌شود که منحنی تمش - کرنش برای درجه تراکم‌های ۰٪ و ۳۰٪ تقریباً بر هم منطبق است. همچنین با افزایش تمش همه‌جانبه، مقاومت بررسی نمونه‌ها به مقدار قابل توجهی افزایش پیدا می‌کند. این مطلب توسط بسیاری از پژوهشگران گزارش شده است و از جمله نکاتی است که پژوهشگران درباره‌ی آن اتفاق نظر دارند. صرف‌نظر از وجود یا عدم وجود لاستیک در مخلوط، این موضوع را می‌توان به صورت ساده با استفاده از نظریه‌ی گسیختگی موهر - کلمب توجیه کرد ( $c = \sigma \tan \varphi + c$ ) با افزایش تمش همه‌جانبه، مقاومت بررسی نیز افزایش می‌باشد.

#### ۵. خردشده‌گی

به منظور بررسی خردشده‌گی ماسه‌ی کربناته در مخلوط‌های آزمایش شده از پارامتر ضریب خردشده‌گی (رابطه‌ی ۵) استفاده<sup>[۴۲]</sup> و مقادیر ضریب خردشده‌گی نمونه‌ها در جدول ۶ ارائه شده است.



شکل ۱۱. نمودار تمش انحرافی - کرنش مخلوط ۱۰٪.

- تمش محصورکننده، علاوه بر اینکه سبب خردشده‌گی بیشتر ذرات ماسه کربناته می‌شود، موجب محدودشدن تغییر حجم‌ها در نمونه نیز می‌شود و مقاومت کششی تکه‌های لاستیک به صورت کامل بسیج نمی‌شود، که این مسئله نیز موجب کاهش زاویه‌ی اصطکاک می‌شود.

در انتها می‌توان گفت هر چه نمونه متراکم‌تر باشد، افزایش مقاومت بررسی ناشی از افزودن خردشده‌است که در برخی دیگر از پژوهش‌ها،<sup>[۱۸]</sup> نیز گزارش شده است (برای نمونه با تراکم نسبی ۵٪، افزایش زاویه‌ی اصطکاک داخلی به میزان ۹٪ گزارش شده است، در حالی که برای تراکم نسبی ۷۵٪،<sup>[۹]</sup> ۲٪ گزارش شده است.<sup>[۱۰]</sup>

در واقع مکانیزم اصلی تسلیع خردشده‌ای لاستیک، در مخلوط‌های خاکی در تراکم‌های پایین است و با افزایش درجه‌ی تراکم، از میزان افزایش مقاومت بررسی کاسته می‌شود و در برخی موارد حتی موجب کاهش مقاومت بررسی مخلوط نسبت به ماسه‌ی خالص می‌شود. با افزودن لاستیک به ماسه‌ی کربناته در تمامی تمش‌های همه‌جانبه مشاهده می‌شود که کرنش نظری نقطه‌ی گسیختگی افزایش می‌باشد و در واقع مصالح شکل پذیرتر می‌شوند.

#### ۳.۴. پارامترهای مقاومت بررسی

ماسه‌ی خالص فاقد چسبندگی است، ولی با افزایش درصد خردشده‌استیک در مخلوط، مقدار چسبندگی به تدریج افزایش می‌باشد. پس از رسم دایره‌ی موهر برای مخلوط‌های مختلف، هم‌زمان با کاهش زاویه‌ی اصطکاک داخلی، چسبندگی در خاک ظاهر می‌شود. در نوشтар حاضر، به منظور درک بهتر و مقایسه‌ی درست نمونه‌ها از مفهوم زاویه‌ی اصطکاک داخلی معادل استفاده شده است. در واقع، در روش مذکور مقدار چسبندگی به سمت صفر میل داده می‌شود و زاویه‌ی اصطکاک معادل آن به دست می‌آید. این اصطلاح پیش از این در برخی دیگر از مطالعات نیز ارائه شده است.<sup>[۱۸]</sup> پارامترهای مقاومت بررسی در دو حالت سست و نیمه‌متراکم برای مخلوط‌های مختلف به ترتیب در جدول‌های ۴ و ۵ نشان داده شده است. زاویه‌ی اصطکاک معادل در محدوده‌ی تمش

جدول ۴. پارامترهای مقاومت بررسی در تراکم نسبی ۳۰٪.

| نمونه     | $\varphi_{eq}(^{\circ})$ | $c(KPa)$ | $\varphi(^{\circ})$ |
|-----------|--------------------------|----------|---------------------|
| ماسه خالص | ۳۴                       | ۰        | ۳۴                  |
| مخلوط     | ۳۷                       | ۲۹       | ۲۴٪                 |
| مخلوط     | ۳۲,۶۲                    | ۳۰       | ۲۹٪ ۱۵              |
| مخلوط     | ۲۹,۹۵                    | ۳۱       | ۲۶٪ ۲۰              |
| مخلوط     | ۲۵,۳۵                    | ۸۵       | ۱۳٪ ۳۰              |

جدول ۵. پارامترهای مقاومت بررسی در تراکم نسبی ۶۰٪.

| نمونه     | $\varphi_{eq}(^{\circ})$ | $c(KPa)$ | $\varphi(^{\circ})$ |
|-----------|--------------------------|----------|---------------------|
| ماسه خالص | ۳۶                       | ۰        | ۳۶                  |
| مخلوط     | ۳۶,۷۹                    | ۴۳       | ۳۲٪                 |
| مخلوط     | ۳۵                       | ۳۵       | ۳۱٪ ۱۵              |
| مخلوط     | ۳۱,۸۱                    | ۳۱       | ۲۸٪ ۲۰              |
| مخلوط     | ۲۷,۹۱                    | ۴۴       | ۲۲٪ ۳۰              |

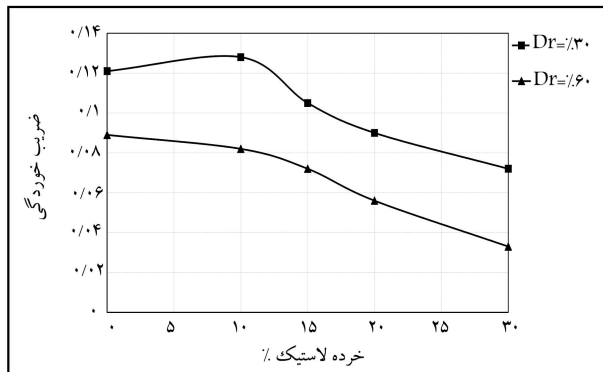
جدول ۶. مقادیر ضریب خردشگی نمونه‌های مختلف.

| نمونه       | $\sigma (KPa)$ | تراکم % | تراکم % | نمونه       |
|-------------|----------------|---------|---------|-------------|
| ماسه‌ی خالص | ۱۰۰            | ۰,۰۶۵   | ۰,۰۳۶   | مخلوط ۱۰٪   |
| مخلوط ۱۰٪   | ۱۰۰            | ۰,۰۷۴   | ۰,۰۳۷   | مخلوط ۱۵٪   |
| مخلوط ۱۵٪   | ۱۰۰            | ۰,۰۶۷   | ۰,۰۳۴   | مخلوط ۲۰٪   |
| مخلوط ۲۰٪   | ۱۰۰            | ۰,۰۶۱   | ۰,۰۳۱   | ماسه‌ی خالص |
| ماسه‌ی خالص | ۳۵۰            | ۰,۰۹۲   | ۰,۰۵۳   | مخلوط ۱۰٪   |
| مخلوط ۱۰٪   | ۳۵۰            | ۰,۰۸۵   | ۰,۰۶۹   | مخلوط ۱۵٪   |
| مخلوط ۱۵٪   | ۳۵۰            | ۰,۰۷۳   | ۰,۰۶۰   | مخلوط ۲۰٪   |
| مخلوط ۲۰٪   | ۳۵۰            | ۰,۰۷۵   | ۰,۰۵۵   | مخلوط ۳۰٪   |
| مخلوط ۳۰٪   | ۳۵۰            | ۰,۰۶۷   | ۰,۰۱۹   | مخلوط ۳۰٪   |
| مخلوط ۳۰٪   | ۶۰۰            | ۰,۱۲۱   | ۰,۰۸۹   | ماسه‌ی خالص |
| ماسه‌ی خالص | ۶۰۰            | ۰,۱۲۸   | ۰,۰۸۲   | مخلوط ۱۰٪   |
| مخلوط ۱۰٪   | ۶۰۰            | ۰,۱۰۵   | ۰,۰۷۲   | مخلوط ۱۵٪   |
| مخلوط ۱۵٪   | ۶۰۰            | ۰,۰۹۰   | ۰,۰۵۶   | مخلوط ۲۰٪   |
| مخلوط ۲۰٪   | ۶۰۰            | ۰,۰۷۲   | ۰,۰۳۳   | مخلوط ۳۰٪   |

بررسی نمودار در شکل ۱۲ نشان می‌دهد که همواره ضریب خردشگی نمونه‌های سست بیش از نمونه‌های نیمه متراتکم است. در واقع با افزایش درجه‌ی تراکم نسبی، صرف‌نظر از وجود یا عدم وجود لاستیک، خردشگی ذرات ماسه‌ی کربناته کاهش پائته است.

با توجه به اینکه ماسه‌ی مورد بررسی از نوع کربناته است، با بررسی شکل و نحوه‌ی قرارگیری ذرات می‌توان پذیده‌ی خردشگی را توجیه کرد. دانه‌های ماسه‌ی کربناته به صورت ذرات صفحه‌بی و کروی در چند نقطه در تماس با یکدیگر فراز دارند. با فرض اینکه نیروی ثابتی به ذرات اعمال شود، اگر تعداد نقاط اتکای ذرات کم باشد و نیرو بیش از مقاومت تماсی در محل اتکا باشد، ماسه‌ی دچار خردشگی می‌شود. حال اگر چیزی دانها تعییر کند و تعداد نقاط اتکای بین ذرات افزایش باید و همان نیرو به ذرات اعمال شود، نیرو بین تعداد نقاط تکیه‌گاهی بیشتر تقسیم می‌شود و نیروی واردشده در سطح تماس کاهش می‌باید و اگر تنش وارد در سطح اتکا کمتر از مقاومت تماسی باشد، خردشگی اتفاق نمی‌افتد.

با کاهش تراکم نسبی در یک تنش همه‌جانبه‌ی ثابت، نسبت منافذ درون نمونه افزایش می‌باید و تعداد نقاط تماس بین ذرات کاهش می‌باید. کاهش تعداد نقاط تماس بین دو ذره سبب می‌شود که نیروی بیشتری در سطح اتکا به ذرات وارد شود که منجر به خردشگی بیشتر می‌شود. در درجه‌ی تراکم ثابت در افزایش تنش همه‌جانبه، فشار وارد به ذرات کربناته و در نتیجه سطح تماس بین ذرات کربناته و همچنین خردشگی افزایش می‌باید. همان‌طور که در جدول ۶ نیز مشاهده می‌شود، با افزایش تنش همه‌جانبه از مقدار ۱۰۰ کیلوپاسکال به ۶۰۰ کیلوپاسکال، ضریب خردشگی ماسه‌ی خالص با تراکم  $30\%$  از  $60\%$  به  $121\%$  (۰,۰۶۷) افزایش) و در ماسه‌ی با تراکم  $60\%$  از  $36\%$  به  $89\%$  رسیده است ( $147\%$  افزایش).



شکل ۱۲. نمودار تغییرات ضریب خردشگی با افزودن خردلاستیک برای ۲ حالت سست و نیمه متراتکم.

در ادامه، تأثیر افزودن خردلاستیک و اثر تراکم و تنش همه‌جانبه در ضریب خردشگی بررسی شده است:

#### ۱۰.۴ اثر افزودن خردلاستیک

در تراکم نسبی  $30\%$ ، با افزودن  $30\%$  خردلاستیک، ضریب خردشگی در تنش‌های همه‌جانبه‌ی  $100\%$ ،  $350\%$  و  $600\%$  کیلوپاسکال به ترتیب  $22\%$ ،  $27\%$  و  $40\%$  نسبت به ماسه‌ی خالص کاهش یافته است. در تراکم نسبی  $60\%$ ، با افزودن  $30\%$  خردلاستیک، ضریب خردشگی در تنش‌های همه‌جانبه‌ی  $100\%$ ،  $350\%$  و  $600\%$  کیلوپاسکال به ترتیب  $22\%$  و  $63\%$  کاهش یافته است. در شکل ۱۲، تغییرات پارامتر ضریب خردشگی  $10\%$  نمونه‌ی آزمون شده در فشار همه‌جانبه‌ی  $600\%$  کیلوپاسکال (مخلوط‌های  $5\%$ ،  $10\%$ ،  $15\%$ ،  $20\%$  و  $30\%$  درصد حجمی در تراکم های  $30\%$  و  $60\%$ ) بر حسب افزایش درصد لاستیک در مخلوط نشان داده شده است.

وجود لاستیک در نمونه سبب می‌شود تا اتکای بین دانه‌های ماسه با یکدیگر کاهش پیدا کند و ذرات تیرگوشه‌ی ماسه‌ی کربناته به تکه‌های لاستیک انعطاف‌پذیر متکی و کمتر دچار خردشگی شوند. در واقع، برخورد بین ذرات از نوع ماسه‌ی با ماسه کاهش باید و برخوردهای ماسه‌ی با لاستیک و لاستیک با لاستیک جایگزین شود.

۱. در مخلوط  $10\%$  با تراکم نسبی  $30\%$ ، در تنش‌های همه‌جانبه‌ی  $100\%$ ،  $350\%$  و  $600\%$  کیلوپاسکال، مقاومت برشی مخلوط ماسه و لاستیک نسبت به ماسه‌ی خالص به ترتیب به میزان  $14\%$ ،  $10\%$  و  $5\%$  افزایش می‌باید.

۲. در مخلوط  $10\%$  با تراکم نسبی  $60\%$ ، در تنش‌های همه‌جانبه‌ی  $100\%$  و  $350\%$  کیلوپاسکال مقاومت برشی مخلوط ماسه و لاستیک نسبت به ماسه‌ی خالص به ترتیب  $8\%$  و  $15\%$  افزایش، و در تنش همه‌جانبه‌ی  $600\%$  کیلوپاسکال،  $5\%$  کاهش می‌باید.

۳. یکی از کاربردهای اصلی مخلوط‌های ذکر شده در پژوهه‌های عملی، استفاده از آن‌ها در اجرای خاکریزهای مختلف، از جمله پشت سازه‌های نگهبان است. به دلیل سبکی لاستیک در مقایسه با خاک، استفاده از مخلوط باعث سبک‌سازی و کاهش نیروی وارد به سازه‌ی نگهبان می‌شود، ضمن آنکه می‌تواند باعث افزایش مقاومت توده‌ی خاک پشت دیوار نیز شود. با توجه به افزایش بیشتر مقاومت برشی نمونه‌های سست در تنش همه‌جانبه‌ی پایین توصیه می‌شود که از مخلوط‌های مذکور در لایه‌های بالایی خاکریز استفاده شود و تنش‌های همه‌جانبه در محدوده‌ی کمتر از  $350\%$  کیلوپاسکال باشد.

۸. در مخلوط ۳۰٪ خردلاستیک در درجه‌ی تراکم ۳۰٪، ضریب خردشگی در تنش‌های همه‌جانبه‌ی ۱۰۰، ۳۵۰ و ۶۰۰ کیلوپاسکال به ترتیب ۲۷٪، ۲۰٪ و ۴۰٪ نسبت به ماسه‌ی خالص کاهش یافته است.
۹. در تراکم نسبی ۶۰٪، با افزودن ۳۰٪ خردلاستیک، ضریب خردشگی در تنش‌های همه‌جانبه‌ی ۱۰۰، ۳۵۰ و ۶۰۰ کیلوپاسکال به ترتیب ۲۲٪، ۲۴٪ و ۶۳٪ کاهش یافته است.
۱۰. خردشگی در نمونه‌های سست بیش از نمونه‌های نیمه‌متراکم است. در تمامی نمونه‌ها، افزودن خردلاستیک موجب کاهش ضریب خردشگی ماسه‌ی کربناته می‌شود.
۱۱. خردشگی ماسه‌ی کربناته با افزایش تنش همه‌جانبه، افزایش می‌یابد. هر چه درصد خردلاستیک در مخلوط بیشتر باشد، افزایش خردشگی کمتر خواهد بود.
۴. وجود لاستیک در مخلوط‌های ماسه‌ی کربناته، کرنش گسیختگی را افزایش و سبب شکل‌پذیرتر شدن نمونه‌ها می‌شود.
۵. با افزایش درصد لاستیک در مخلوط ماسه‌ی لاستیک، زاویه‌ی اصطکاک داخلی کاهش و چسبندگی افزایش می‌یابد.
۶. چسبندگی مشاهده شده در نمونه‌ها، ناشی از مکانیزم تسلیح لاستیک در خاک است. برای مقایسه‌ی هم‌زمان اثر زاویه‌ی اصطکاک داخلی و چسبندگی از مفهوم زاویه‌ی اصطکاک داخلی معادل استفاده می‌شود. زاویه‌ی اصطکاک داخلی معادل با افزودن ۱۰٪ خردلاستیک در تراکم‌های ۳۰٪ و ۶۰٪ به ترتیب به میزان ۸٪ و ۲٪ افزایش می‌یابد.
۷. در یک تنش همه‌جانبه و درصد لاستیک یکسان، افزایش تراکم تأثیر چندانی در افزایش مقاومت برشی مخلوط ندارد. بنابراین متراکم کردن نمونه‌ها برای دست‌یابی به مقاومت برشی بیشتر توجیه‌پذیر نیست.

## منابع (References)

1. ETRMA, Annual Report (2012) ([www.etrma.org/](http://www.etrma.org/)).
2. Vidal, H. "The principle of reinforced earth", *Highway Research Record*, 282, pp. 1-16 (1969).
3. Sayao, A.S.F.J., Gerscovich, D., Medeiros, L. and et al. "Scrap tire-an attractive material for gravity retaining walls and soil reinforcement", *The Journal of Solid Waste Technology and Management*, **35**(3), pp. 135-155 (2009).
4. Kim, K.S., Yoon, Y.W. and Yoon, G.L. "Pullout behavior of cell-type tires in reinforced soil structures", *KSCE Journal of Civil Engineering*, **15**(7), pp. 1209-1217 (2011).
5. Hazarika, H., Kohama, E. and Sugano, T. "Underwater shake table tests on waterfront structures protected with tire chips cushion", *Journal of Geotechnical and Geoenvironmental Engineering*, **134**(12), pp. 1706-1719 (2008).
6. Lee, J.H., Salgado, R., Bernal, A. and et al. "Shredded tires and rubber-sand as lightweight backfill", *Journal of Geotechnical and Geoenvironmental Engineering*, **125**(2), pp. 132-141 (1999).
7. Bosscher, P.J., Edil, T.B. and Kuraoka, S. "Design of highway embankments using tire chips", *Journal of Geotechnical and Geoenvironmental Engineering*, **123**(4), pp. 295-304 (1997).
8. Edincliler, A. "Using waste tire-soil mixtures for embankment construction", *In Proceedings of the International Workshop on Scrap Tire Derived Geomaterials- Opportunities and Challenges*, Yokosuka, Japan, pp. 319-328 (2007).
9. Reddy, K.R. and Saichek, R.E. "Characterization and performance assessment of shredded scrap tires as leachate drainage material in landfills", *In Proc.*, **14th International Conf. on Solid Waste Technology and Management**, pp. 2A-2A (1998).
10. Senetakis, K. and Anastasiadis, A. "Effects of state of test sample, specimen geometry and sample preparation on dynamic properties of rubber-sand mixtures", *Geosynthetics International*, **22**(4), pp. 301-310 (2015).
11. Humphrey, D.N., and Sandford, T.C. "Tire chips as lightweight subgrade fill and retaining wall backfill", *In Proceedings of the Symposium on Recovery and Effective Reuse of Discarded Materials and By-Products for Construction of Highway Facilities*, pp. 5-87 (1993).
12. Ahmed, I. "Laboratory study on properties of rubber-soils", FHWA/IN/JHRP-93/04, Joint Highway Research Project, Indiana Department of Transportation and Purdue University, West Lafayette, Indiana (1993).
13. Heimdal, T.C. and Drescher, A. "Elastic anisotropy of tire shreds", *Journal of Geotechnical and Geoenvironmental Engineering*, **125**(5), pp. 383-389 (1999).
14. Lee, J.H., Salgado, R., Bernal, A. and et al. "Shredded tires and rubber-sand as lightweight backfill", *Journal of Geotechnical and Geoenvironmental Engineering*, **125**(2), pp. 132-141 (1999).
15. O'Shaughnessy, V. and Garga, V.K. "Tire-reinforced earthfill. Part 2: Pull-out behaviour and reinforced slope design", *Canadian Geotechnical Journal*, **37**(1), pp. 97-116 (2000).
16. Edil, T. and Bosscher, P.J. "Engineering properties of tire chips and soil mixtures", **17**(4), pp. 453-464 (1994).
17. Foose, G.J., Benson, C.H. and Bosscher, P.J. "Sand reinforced with shredded waste tires", *Journal of Geotechnical Engineering*, **122**(9), pp. 760-767 (1996).
18. Zornberg, J.G., Cabral, A.R. Viratjandr, Ch. "Behaviour of tire shred sand mixtures", *Canadian Geotechnical Journal*, **41**(2), pp. 227-241 (2004).

19. Ghazavi, M. and Sakhi, M.A. "Influence of optimized tire shreds on shear strength parameters of sand", *International Journal of Geomechanics*, **5**(1), pp. 58-65 (2005).
20. Rao, G.V. and Dutta, R.K. "Compressibility and strength behaviour of sand-tyre chip mixtures", *Geotechnical & Geological Engineering*, **24**(30), pp. 711-724 (2006).
21. Reddy, S.B., Kumar, D.P. and Krishna, A.M. "Evaluation of the optimum mixing ratio of a sand-tire chips mixture for geoengineering applications", *Journal of Materials in Civil Engineering*, **28**(2), pp. (2015).
22. Vinod, J.S., Sheikh, N., Mastello, D. and et al. "The direct shear strength of sand-tyre shred mixtures", *Proceedings of the International Conference on Geotechnical Engineering*, pp. 193-196 (2015).
23. Masad, E., Taha, R., Ho, C. and et al. "Engineering properties of tire/soil mixtures as a lightweight fill material", *Geotechnical Testing Journal*, **19**(3), pp. 297-304 (1996).
24. Youwai, S. and Bergado, D.T. "Strength and deformation characteristics of shredded rubber tire sand mixtures", *Canadian Geotechnical Journal*, **40**(2), pp. 254-264 (2003).
25. Kawata, S., Hyodo, M., Orense, P. and et al. "Undrained and drained shear behavior of sand and tire chips composite material", In *Proceedings of the International Workshop on Scrap Tire Derived Geomaterials- Opportunities and Challenges*, Yokosuka, Japan, pp. 277-283 (2007).
26. Neaz Sheikh, M., Mashiri, M.S., Vinod, J.S. and et al. "Shear and Compressibility behavior of sand-tire crumb mixtures", *Journal of Materials in Civil Engineering*, **25**(10), pp. 1366-1374 (2012).
27. Anastasiadis, A., Senetakis, K. and Pitilakis, K. "Small-strain shear modulus and damping ratio of sand-rubber and gravel-rubber mixtures", *Geotechnical and Geological Engineering*, **30**(2), pp. 363-382 (2012).
28. Kaneko, T., Orense, R.P., Hyodo, M. and et al. "Seismic response characteristics of saturated sand deposits mixed with tire chips", *Journal of Geotechnical and Geoenvironmental Engineering*, **139**(4), pp. 633-643 (2012).
29. Anbazhagan, P., Mamatha, M., Soumyashree, P. and et al. "Laboratory characterization of tire crumbs soil mixture for developing low cost damping materials", *Int. J. Earth. Sci. Eng.*, **4**(6), pp. 63-66 (2011).
30. Airey, D.W. "Triaxial testing of naturally cemented carbonate soil", *Journal of Geotechnical Engineering*, **119**(9), pp. 1379-1398 (1993).
31. Wang, X.-Z., Jiao, Y.-Y., Wang, R. and et al. "Engineering characteristics of the calcareous sand in Nansha Islands, South China Sea", *Engineering Geology*, **120**(1), pp. 40-47 (2011).
32. Brandes, H.G. "Simple shear behavior of calcareous and quartz sands", *Geotechnical and Geological Engineering*, **29**(1), pp. 113-126 (2011).
33. Datta, M., Gulhati, S.K. and Rao, G.V. "Crushing of calcareous sands during drained shear", *Society of Petroleum Engineers Journal*, **20**(2), pp. 77-85 (1980).
34. Baharom, B. and Stallebrass, S.E. "A constitutive model combining the microscopic and macroscopic behaviour of sands in shear and volumetric deformation", In *Application of Numerical Methods to Geotechnical Problems*, pp. 263-272. Springer Vienna (1998).
35. Chandler, H.W. "A plasticity theory without Drucker's postulate, suitable for granular materials", *Journal of the Mechanics and Physics of Solids*, **33**(3), pp. 215-226 (1985).
36. Doherty, P., Spagnoli, G. and Doherty, M. "Laboratory investigations to assess the feasibility of employing a novel mixed-in-place offshore pile in calcareous deposits", *Ships and Offshore Structures*, **10**, pp. 1-11 (2015).
37. Shahnazari, H. and Rezvani, R. "Effective parameters for the particle breakage of calcareous sands: An experimental study", *Engineering Geology*, **159**, pp. 98-105 (2013).
38. Humphrey, D.N. "Civil engineering applications of tire shreds", In *Proceedings of the Tire Industry Conference*, Clemson University, pp. 1-16 (1999).
39. Bishop, A.W. and Henkel, D.J. "The measurement of soil properties in the triaxial test", London: E. Arnold (1900).
40. Ladd, R. "Preparing test specimens using undercompaction", *ASTM, Geotechnical Testing Journal*, **1**(1), pp. 16-23 (1978).
41. Mashiri, M.S., Vinod, J.S., Neaz Sheikh, M. and et al. "Shear strength and dilatancy behaviour of sand-tyre chip mixtures", *Soils and Foundations*, **55**(3), pp. 517-528 (2015).
42. Ghazavi, M. "Shear strength characteristics of sand-mixed with granular rubber", *Geotechnical & Geological Engineering*, **22**(3), pp. 401-416 (2004).
43. Gotteland, Ph., Lambert, S. and Balachowski, L. "Strength characteristics of tyre chips-sand mixtures", *Studia Geotechnica et Mechanica*, **27**(1-2), pp. 55-66 (2005).
44. Hardin, B.O. "Crushing of soil particles", *Journal of Geotechnical Engineering*, **111**(10), pp. 1177-1192